

---

Titre :	SDLL401 Poutre droite inclinée à 20°, soumise à des efforts sinusoïdaux	Date :	01/12/98
Auteur(s) :	J.M. PROIX, M.T. BOURDEIX, P. HEMON, O. WILK	Clé :	V2.02.401-A
		Page :	1/6

Organisme(s) : EDF/IMA/MMN, IAT, CNAM

---

**Manuel de Validation**  
**Fascicule V2.02 : Dynamique linéaire des poutres**  
**Document : V2.02.401**

## **SDLL401 - Poutre droite inclinée à 20°, soumise à des efforts sinusoïdaux**

---

### **Résumé :**

Ce test est issu de la validation indépendante de la version 4 des modèles de poutres.

Il permet de vérifier les efforts internes sur une poutre inclinée, pour des chargements sinusoïdaux en fonction du temps (une modélisation avec des éléments `POU_D_T`, poutre droite de Timoshenko).

## 1 Problème de référence

### 1.1 Géométrie

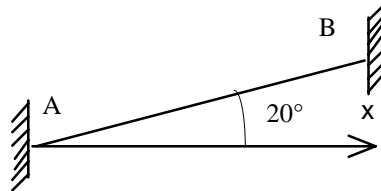


Figure 1.1-a

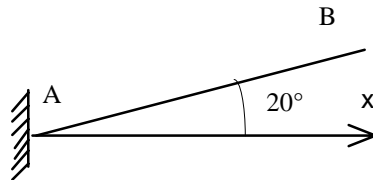


Figure 1.1-b

Poutre droite de longueur 1 m.  
inclinaison 20° par rapport à x (sens trigonométrique).

**Caractéristiques de la section :**

$$S = \pi \cdot 0.01^2 \text{ m}^2$$

### 1.2 Propriétés des matériaux

Module d'Young	$E = 2 \cdot 10^{11} \text{ Pa}$
Coefficient de Poisson	$\nu = 0,3$
Masse volumique	$\rho = 7800 \text{ kg/m}^3$

### 1.3 Conditions aux limites et chargement

**Condition aux limites :**

- Pour le chargement réparti [fig 1.1-1]  
Nœuds A et B encastrés : DX, DY, DZ, DRX, DRY, DRZ bloqués
- Pour le chargement ponctuel [fig 1.1-2]  
Nœud A encastré : DX, DY, DZ, DRX, DRY, DRZ bloqués

**Chargements :**

- $f(t) = 1000 \cdot \cos(t)$  suivant la direction AB  
soit réparti soit appliqué à l'extrémité B
- $M_T(t) = 1000 \cdot \cos(t)$  appliqué à l'extrémité B

## 2 Solutions de référence

### 2.1 Méthode de calcul utilisée pour les solutions de référence

#### 2.1.1 Chargement réparti de traction-compression

Une poutre droite de longueur L travaillant uniquement en traction-compression est soumise à un chargement réparti constant suivant x mais variant de façon sinusoïdale en fonction du temps. Elle est encastree à ses deux extrémités.

$$\begin{cases} \rho S \frac{\partial^2 u}{\partial t^2} - E S \frac{\partial^2 u}{\partial x^2} = f(t) \\ u(0)=0, \quad u(L)=0. \end{cases}$$

Pour résoudre, on applique à l'équation la transformée de Fourier en temps :

$$\frac{\partial^2 \hat{u}}{\partial x^2} = -\frac{\rho}{E} 4\pi^2 \omega^2 \hat{u} + \frac{1}{ES} \hat{f}(\omega)$$

$\hat{u}$  : transformée de Fourier de u,

$\hat{f}$  : transformée de Fourier de f.

Ainsi, nous avons pour  $f(t) = F \cos(2\pi \omega_o t)$  :

$$u(x,t) = \frac{a^2 F}{ES 4\pi^2 \omega_o^2} \left\{ \left[ \cos\left(\frac{2\pi\omega_o}{a} L\right) - 1 \right] \frac{\sin\left(\frac{2\pi\omega_o}{a} x\right)}{\sin\left(\frac{2\pi\omega_o}{a} L\right)} - \left[ \cos\left(\frac{2\pi\omega_o}{a} x\right) - 1 \right] \right\} \cos(2\pi \omega_o t).$$

avec :  $a^2 = \frac{E}{\rho}$ .

L'utilisation de la loi de comportement nous donne l'effort de traction compression :

$$N(x,t) = \frac{a F}{2\pi \omega_o} \left\{ \left[ 1 - \cos\left(\frac{2\pi\omega_o}{a} L\right) \right] \frac{\cos\left(\frac{2\pi\omega_o}{a} x\right)}{\sin\left(\frac{2\pi\omega_o}{a} L\right)} + \sin\left(\frac{2\pi\omega_o}{a} x\right) \right\} \cos 2\pi \omega_o t.$$

## 2.1.2 Chargements ponctuels

Une poutre console de longueur L travaillant uniquement en traction compression (ou en torsion) est soumise à une force sinusoïdale en temps, (ou un moment) appliquée à son extrémité libre.

### 2.1.2.1 Traction

$$\begin{cases} \rho S \frac{\partial^2 u}{\partial t^2} - ES \frac{\partial^2 u}{\partial x^2} = 0 \\ u(0) = 0, \quad \frac{\partial u}{\partial x}(L) = \frac{1}{ES} f(t). \end{cases}$$

La technique de résolution est équivalente à celle du paragraphe [§2.1.1.1].

Pour  $f(t) = F \cos(2\pi \omega_o t)$ , nous avons :

$$u(x, t) = \frac{a F}{ES 2\pi \omega_o} \frac{\sin\left(\frac{2\pi \omega_o}{a} x\right)}{\cos\left(\frac{2\pi \omega_o}{a} L\right)} \cos(2\pi \omega_o t)$$

$$\text{avec } a^2 = \frac{E}{\rho}$$

$$\text{et } N(x, t) = F \frac{\cos\left(\frac{2\pi \omega_o}{a} x\right)}{\cos\left(\frac{2\pi \omega_o}{a} L\right)} \cos(2\pi \omega_o t)$$

### 2.1.2.2 Torsion

$$\begin{cases} G I_p \frac{\partial^2 \theta_x}{\partial x^2} - I_{\theta_x} \frac{\partial^2 \theta_x}{\partial t^2} = f(t) \\ u(0) = 0, \quad u(L) = 0 \end{cases}$$

$$G = \frac{E}{2(1+\nu)}$$

$$I_p = \frac{\pi 0,01^4}{2} m^4,$$

$$I_{\theta_x} = \rho I_p$$

$$\theta_x(x, t) = \frac{b F}{G I_p 2\pi \omega_o} \frac{\sin \frac{2\pi \omega_o}{b} x}{\cos \frac{2\pi \omega_o}{b} L} \cos(2\pi \omega_o t)$$

$$M_T(x, t) = F \frac{\cos\left(\frac{2\pi \omega_o}{b} x\right)}{\cos\left(\frac{2\pi \omega_o}{b} L\right)} \cos(2\pi \omega_o t)$$

$$\text{avec } b = \frac{G}{\rho}$$

## 2.2 Résultats de référence

Les efforts intérieurs (N et MT)

## 2.3 Incertitude sur la solution

Solution analytique.

## 2.4 Références bibliographiques

- [1] Rapport n° 2314/A de l'Institut Aérotechnique « Proposition et réalisation de nouveaux cas tests manquant à la validation des poutres ASTER »

## 3 Modélisation A

---

### 3.1 Caractéristiques de la modélisation

Le modèle est composé de 2 éléments poutre droite de Timoshenko.

### 3.2 Caractéristiques du maillage

2 éléments POU\_D\_T

### 3.3 Fonctionnalités testées

Commandes			Clés
DYNA_LINE_TRAN	NEWMARK		[U4.54.01]
	EXCIT	CHARGE	
		FONC_MULT	

## 4 Résultats de la modélisation A

### 4.1 Résultats

#### 4.1.1 Charge répartie en traction

		Résultats analytiques	Résultats Aster	Ecart (%)
Effort normal pour $x = 0$	$t = 1/3$ s	4.7247E+02	4.7247E+02	9.12E-07
	$t = 2/3$ s	3.92944E+02	3.9294E+02	-6.08E-07
Effort normal pour $x = L/2$	$t = 1/3$ s	0.0000E+00	2.1985E-12	2.20E-12*
	$t = 2/3$ s	0.0000E+00	2.5087E-12	2.51E-12*

\* Ecart absolu

#### 4.1.2 Charge ponctuelle

##### 4.1.2.1 Chargement en traction

Effort normal pour  $x = 0$

		Résultats analytiques	Résultats Aster	Ecart (%)
	$t = 1/3$ s	9.44957E+02	9.44956E+02	-7.59E-07
	$t = 2/3$ s	7.8588E+02	7.8588E+02	3.01E-06

##### 4.1.2.2 Chargement en torsion

Moment de torsion pour  $x = 0$

		Résultats analytiques	Résultats Aster	Ecart (%)
	$t = 1/3$ s	9.4495E+02	9.4495E+02	-1.88E-06
	$t = 2/3$ s	7.8588E+02	7.8589E+02	7.29E-06

## 4.2 Paramètres d'exécution

Version : 4.02

Machine : CRAY C90

Encombrement mémoire : 8 MW

Temps CPU user : 10 secondes

## 5 Synthèse des résultats

Ce test permet de vérifier que les efforts internes des éléments de poutre en dynamique sont corrects. Les résultats montrent un très bon accord avec la solution analytique, pour un maillage composé seulement de deux éléments POU\_D\_T.